

土木技術者のための新数学講座

応用マトリックス代数

その2／小松定夫*

(6) 高次固有値の計算法

振動問題においては、高次固有振動数および固有振動モードが知りたいことがある。そのようなときには、高次固有値 $\omega_j (j \geq 2)$ を計算せねばならない。この問題については、J. Koch, H. Wielandt, H. Hollellingなどの研究がある。本文においては、Kochの方法について述べる。

いま任意のベクトル x を対称行列 A^{-1} の正規化された固有ベクトルで展開すると

$$x = C_1 x_1 + C_2 x_2 + \dots + C_n x_n \quad (a)$$

ここに展開係数 C_j は

$$C_j = x_j^T x \quad (3.33)$$

として与えられる。

そして、固有値の間で $|\omega_1| < |\omega_2| < |\omega_3| < \dots$ の関係があるものとする。

そこで、次式によって x_1 の項を消して v なるベクトルを導入する。

$$v = x - C_1 x_1 \quad (3.34)$$

そして

$$Z = A^{-1} v \quad (3.35)$$

を計算すると次式で正規化されたベクトル x の第2近似を得る。

$$x = Z / |Z| \quad (3.36)$$

式(3.36)を式(3.33)に代入し、再び式(3.34)、(3.35)、(3.36)の計算により x の第3近似を得る。このように、式(3.33)から(3.36)の計算を反復すると、 x はついに $\omega_2 x$ に収束することは容易にわかる。

これと同時に、ベクトル x は2次固有ベクトル x_2 に収束する。したがって、2次固有値 ω_2 を知ることができる。

この場合にも、Rayleighの商が固有値 ω_2 の良好な近似値 θ_2 を得る。

* 正会員 工博 大阪大学教授 工学部土木工学科

$$\theta_2 = \frac{z^T z}{z^T x} \quad (3.37)$$

さらに、第 k 次固有ベクトルおよび固有値については、次式を式(3.33)～(3.35)のかわりに使えばよい。すなわち、すでに求められた $x_j (1 \leq j \leq k-1)$ を用いて

$$C_j = x_j^T x \quad (3.38)$$

$$v = x - (C_1 x_1 + C_2 x_2 + \dots + C_{k-1} x_{k-1}) \quad (3.39)$$

$$z = A^{-1} v \quad (3.40)$$

を繰返し計算に用いるよ。

(7) 行列の累乗の固有ベクトルと固有値

行列 A が固有ベクトル x_i と固有値 λ_i を有するとき、累乗 A^p の固有値問題について考える。

仮定により $Ax_i = \lambda_i x_i$ である。これに左から順次 A を乗じてゆくと、

$$\left. \begin{aligned} A^2 x_i &= \lambda_i A x_i = \lambda_i^2 x_i \\ A^3 x_i &= \lambda_i A^2 x_i = \lambda_i^3 x_i \\ &\dots \\ A^p x_i &= \lambda_i^p x_i \end{aligned} \right\} \quad (3.41)$$

式(a)は行列 A の累乗 A^p が固有ベクトル x_i を有し、固有値 $\kappa_i = \lambda_i^p$ を有することを示す。行列 A が正則であれば、 p が負の整数の場合にも同様のことが成立つ。

次に、行列 A の p 次多項式

$$B_p = f_p(A) = a_0 I + a_1 A + a_2 A^2 + \dots + a_p A^p \quad (3.42)$$

は A と同じ固有ベクトル x_i を有し、固有値として

$$\kappa_i = f_p(\lambda_i) = a_0 + a_1 \lambda_i + a_2 \lambda_i^2 + \dots + a_p \lambda_i^p \quad (3.43)$$

を有することは、式(3.40)の両辺にそれぞれ係数 a_1, a_2, \dots, a_p を乘じ辺々加え合せることにより容易に証明できる。

4. 行列の級数と行列方程式

(1) 行列の累乗級数

いま、行列の多項式 B において p を無限大としたとき、すなわち

$$\begin{aligned} F &= f(A) = a_0 I + a_1 A + a_2 A^2 + \dots + a_p A^p + \dots \\ &= \lim_{p \rightarrow \infty} B_p \end{aligned} \quad (4.1)$$

を行列 A の累乗級数という。式(3.41)から容易に

$$\kappa_i = \lim_{p \rightarrow \infty} f_p(\lambda_i)$$

とおけば

$$F x_i = \kappa_i x_i \quad (i=1, 2, \dots, n) \quad (4.2)$$

したがって、 $\lim_{p \rightarrow \infty} f_p(\lambda_i)$ が収束して極限値 κ_i を有するときには、行列 A の累乗級数 $F = f(A)$ は収束する。

そして、 \mathbf{F} は \mathbf{A} と同じ固有ベクトル \mathbf{x}_i を有し、その固有値は λ_i である。

また、もし行列 \mathbf{A} の固有値 λ_i が固有方程式の k 重根である場合には、 $(k-1)$ 次の導関数。すなわち、 $\lim_{p \rightarrow \infty} f_p^{(k-1)}(\lambda_i)$ がすべての λ_i に対して収束するとき、累級数 \mathbf{F} は収束する。

任意の有限値 x に対して、関数 $e^x, \cos x, \sin x$ などの累級数展開は収束するので、これらと同形の行列級数は収束する。そこで、それらの級数を関数表示し

$$e\mathbf{A} = \mathbf{I} + \mathbf{A} + \frac{1}{2!} \mathbf{A}^2 + \frac{1}{3!} \mathbf{A}^3 + \dots \quad (4.3)$$

$$\cos \mathbf{A} = \mathbf{I} - \frac{1}{2!} \mathbf{A}^2 + \frac{1}{4!} \mathbf{A}^4 - \dots \quad (4.4)$$

$$\sin \mathbf{A} = \mathbf{A} - \frac{1}{3!} \mathbf{A}^3 + \frac{1}{5!} \mathbf{A}^5 - \dots \quad (4.5)$$

とし、行列 \mathbf{A} の指數関数、余弦関数、正弦関数と定義する。

また、たとえば、二項級数

$$f(x) = \frac{1}{1-x} = 1 + x + x^2 + x^3 + \dots$$

は、領域 $|x| < 1$ において収束する。すなわち、収束半径 $r=1$ の内部において収束する。したがって、行列 \mathbf{A} の固有値 λ_i がすべて $|\lambda_i| < 1$ ならば、行列級数

$$(\mathbf{I} - \mathbf{A})^{-1} = \mathbf{I} + \mathbf{A} + \mathbf{A}^2 + \mathbf{A}^3 + \dots \quad (4.6)$$

は収束する。

同様にして、行列 \mathbf{A} の固有値 λ_i がすべて $-1 < \lambda_i \leq 1$ の領域にあるとき

$$\log(\mathbf{I} + \mathbf{A}) = \mathbf{A} - \frac{1}{2} \mathbf{A}^2 + \frac{1}{3} \mathbf{A}^3 - \dots \quad (4.7)$$

は収束する。

一般に、 x の級数 $f(x)$ の収束半径を r とすると、行列 \mathbf{A} のすべての固有値 λ_i が $|\lambda_i| < r$ であれば、行列級数 $f(\mathbf{A})$ は収束する。もし、 λ_i が固有多項式の k 重根であれば、 $f^{(k-1)}(x)$ の収束半径 r_k として、 $|\lambda_i| < r_k$ ならば $f(\mathbf{A})$ は収束する。

(2) 行列微分方程式

次の1階の行列微分方程式を満足する解 $\mathbf{z}(x)$ を求めよう。

$$\frac{d\mathbf{z}}{dx} = \mathbf{A}\mathbf{z} + \mathbf{g}(x) \quad (4.8)$$

ここに、

$$\mathbf{z} = \{z_1(x); z_2(x); \dots; z_n(x)\}$$

$$\mathbf{A} = (a_{ij}) \quad n \text{ 次正方行列}$$

$$\mathbf{g}(x) = \{g_1(x); g_2(x); \dots; g_n(x)\} \quad (4.9)$$

列ベクトル \mathbf{g} の要素がすべて x の既知関数として与えられている場合に、微分方程式 (4.8) を満足する x の関数 $z_1(x), z_2(x), \dots, z_n(x)$ を要素とする列ベクトル \mathbf{z} を求めるには、まず方程式 (4.8) に Laplace 変換

$$\tilde{z}_i(s) = \int_0^s e^{-sx} z_i(x) dx \quad (4.10)$$

を施すと

$$s\tilde{\mathbf{z}} - \mathbf{z}_0 = \mathbf{A}\tilde{\mathbf{z}} + \tilde{\mathbf{g}}(s)$$

ここに、

$$\tilde{\mathbf{z}} = \{\tilde{z}_1(s); \tilde{z}_2(s); \dots; \tilde{z}_n(s)\} \quad (4.11)$$

$$\mathbf{z}_0 = \{z_1(0); z_2(0); \dots; z_n(0)\} \quad (4.12)$$

$$\tilde{\mathbf{g}}(s) = \{\tilde{g}_1(s); \tilde{g}_2(s); \dots; \tilde{g}_n(s)\} \quad (4.13)$$

よって

$$\tilde{\mathbf{z}} = \frac{1}{s} \left(\mathbf{I} - \frac{1}{s} \mathbf{A} \right)^{-1} [\mathbf{z}_0 + \tilde{\mathbf{g}}(s)]$$

式 (4.6) を用いて行列級数に展開すると

$$\tilde{\mathbf{z}} = \left(\frac{\mathbf{I}}{s} + \frac{\mathbf{A}}{s^2} + \frac{\mathbf{A}^2}{s^3} + \dots \right) [\mathbf{z}_0 + \tilde{\mathbf{g}}(s)]$$

そこで、右辺に Convolution の定理を適用して逆変換し、さらに式 (4.3) を使えば、

$$\mathbf{z} = e\mathbf{A}\mathbf{x}\mathbf{z}_0 + e\mathbf{A}x \int_0^x e^{-A\xi} \mathbf{g}(\xi) d\xi \quad (4.14)$$

式 (4.14) で与えられる \mathbf{z} が行列微分方程式 (4.8) の解である。

[例] 変断面ばりの強制振動

(1) 等分布強制力：強制力 $\mathbf{g}(t) = q \sin \omega t$ が作用する区間ごとに、一定断面の変断面ばりの振動について考える。一般に、振動中のはりの状態ベクトル

$$\mathbf{z} = \{y; \alpha; M; Q\} \quad (4.15)$$

については方程式 (4.8) が成立っている。ただし、係数行列 \mathbf{A} および既知項 \mathbf{g} については、

$$\mathbf{A}_j = \begin{bmatrix} 0 & 1 & 0 & 0 \\ 0 & 0 & -\frac{1}{E_j I_j} & 0 \\ 0 & 0 & 0 & 1 \\ -\frac{W_j}{g} \omega^2 & 0 & 0 & 0 \end{bmatrix}$$

$$\mathbf{g} = \begin{bmatrix} 0 \\ 0 \\ 0 \\ -q \end{bmatrix} \sin \omega t \quad (4.16)$$

ここに、添字 j は第 j 区間の値を表す。

そこで、方程式 (4.8) の解 (4.14) を次のようにかける。

$$\tilde{\mathbf{z}}_j = \tilde{\mathbf{z}}_j \sin \omega t, \quad \mathbf{g} = \tilde{\mathbf{g}} \sin \omega t \quad (4.17)$$

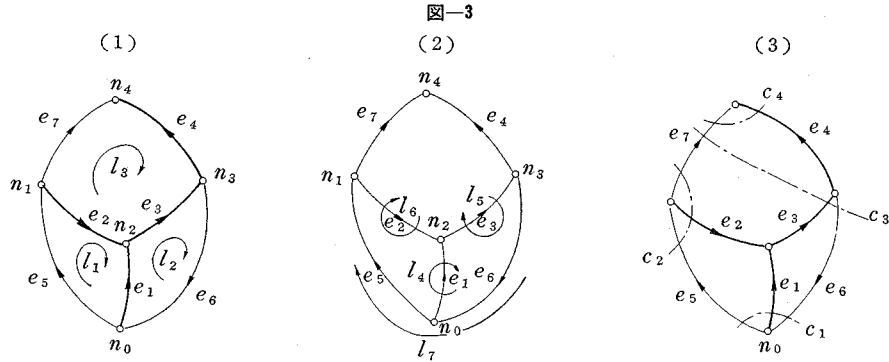
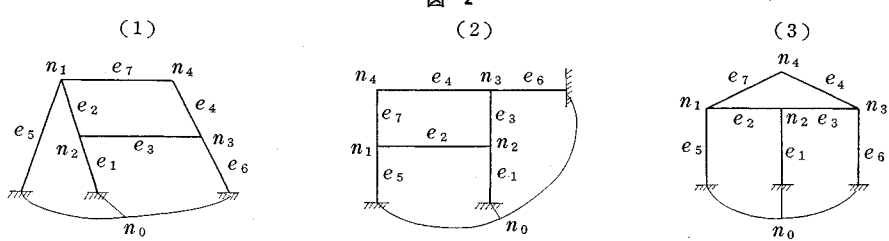
として、第 j 区間の終端 j における状態ベクトルは

$$\tilde{\mathbf{z}}_j = \mathbf{U}_j \tilde{\mathbf{z}}_{j-1} + \mathbf{U}_j \mathbf{A}_j^{-1} (\mathbf{I} - \mathbf{U}_j^{-1}) \tilde{\mathbf{g}} \quad (4.18)$$

ここに

$$\mathbf{U}_j = e\mathbf{A}_j l_j,$$

$$\mathbf{A}_j^{-1} = \begin{bmatrix} 0 & 0 & 0 & -g/W_j \omega^2 \\ 1 & 0 & 0 & 0 \\ 0 & -E_j I_j & 0 & 0 \\ 0 & 0 & 1 & 0 \end{bmatrix} \quad (4.19)$$



とができる。すなわち、

$$\mathbf{D} = [\mathbf{D}_t, \mathbf{D}_c] \dots \quad (5.1)$$

図-3(1)のグラフについては、

$$\left. \begin{array}{l} \mathbf{D}_t = \begin{bmatrix} e_1 & e_2 & e_3 & e_4 \\ 0 & 1 & 0 & 0 \\ n_1 & -1 & -1 & 1 & 0 \\ n_2 & 0 & 0 & -1 & 1 \\ n_3 & 0 & 0 & 0 & -1 \\ n_4 & & & & n \end{bmatrix}, \\ \mathbf{D}_c = \begin{bmatrix} e_5 & e_6 & e_7 \\ -1 & 0 & 1 \\ n_1 & 0 & 0 & 0 \\ n_2 & 0 & 1 & 0 \\ n_3 & 0 & 0 & -1 \\ n_4 & & & m \end{bmatrix} \end{array} \right\} \dots \quad (5.2)$$

\mathbf{D}_t は正則行列である。

ループの正方向を時計方向にとるものと約束する。そして、コードに含まれる枝路の方向づけはループの正方向に一致するようになると都合がよい。基本ループ (l_1, l_2, l_3) に関するものを基本ループ行列といい、 \mathbf{L} で表す。 \mathbf{L} もトリーに対応する (m, n) 型行列 \mathbf{L}_t と m 次正方形行列 \mathbf{L}_c に分けられる。そして、 \mathbf{L}_c は単位行列 \mathbf{I} になるので、次のようである。

$$\mathbf{L} = [\mathbf{L}_t, \mathbf{I}] \dots \quad (5.3)$$

図-3について、

$$\left. \begin{array}{l} \mathbf{L}_t = \begin{bmatrix} e_1 & e_2 & e_3 & e_4 \\ -1 & 1 & 0 & 0 \\ l_1 & 1 & 0 & 1 & 0 \\ l_2 & 0 & -1 & -1 & -1 \\ l_3 & & & & \end{bmatrix} \end{array} \right\} \dots \quad (5.4)$$

図-2

(2)

(3)

基本カットセット行列は 図-3(3) に示す基本カットセットに含まれるコードを行に選ぶ。基本カットセット行列 \mathbf{C} は、トリーに対応する n 次正方形行列 \mathbf{C}_t とコードに含まれる (n, m) 型行列 \mathbf{C}_c とに分けられる。そして、 \mathbf{C}_t は単位行列 \mathbf{I} となる。

$$\mathbf{C} = [\mathbf{I}, \mathbf{C}_c] \dots \quad (5.5)$$

図-3(3)について、

$$\left. \begin{array}{l} \mathbf{C}_t = \begin{bmatrix} e_5 & e_6 & e_7 \\ 1 & -1 & 0 \\ c_1 & -1 & 0 & 1 \\ c_2 & 0 & -1 & 1 \\ c_3 & 0 & 0 & 1 \\ c_4 & & & \end{array} \end{array} \right\} \dots \quad (5.6)$$

となる。

(2) トリー行列とコード行列

トリー行列 $\mathbf{T}(t_{ij})$ は、節点を行に、枝路を列に対応させ、要素 t_{ij} は $t_{ij}=1$ なるときは、指定されたトリーにそって基準節点 n_0 から節点 n_i に至るパスに枝路 e_j が含まれ、進路と同一方向を向いている、

$t_{ij}=-1$ なるときは、同じく反対方向を向いている、

$t_{ij}=0$ なるときは、枝路 e_j がそのパスに含まれない、のような場合に相当する。 m 箇のコードはパスに含まれないので、トリー行列 \mathbf{T} は

$$\mathbf{T} = [\mathbf{T}_t, \mathbf{0}] \dots \quad (5.7)$$

ここに \mathbf{T}_t はトリーに対応する n 次正方形行列で正則である。

図-3について、

$$T_t = \begin{pmatrix} e_1 & e_2 & e_3 & e_4 \\ n_1 & 1 & -1 & 0 & 0 \\ n_2 & 1 & 0 & 0 & 0 \\ n_3 & 1 & 0 & 1 & 0 \\ n_4 & 1 & 0 & 1 & 1 \end{pmatrix} \dots \quad (5.8)$$

コード行列 $B(b_{ij})$ は、コードを行に、枝路を列に対応させ、要素 b_{ij} は

$b_{ij}=1$ なるときは、枝路 e_j がループ l_i に属する

コードに含まれていて方向が同じ、

$b_{ij} = -1$ なるときは、同じく方向逆

$b_{ij}=0$ なるときは、枝路 e_j がループ l_i に属するコードに含まれない場合になる。

すると、コード行列 B は次のように分けられる。

ここに単位行列 I は m 次である。

(3) 基本行列の性質

Poincaré の定理により、3つの基本行列の間に次の直交性が存在する。

$$DL^T = \mathbf{0} \text{ (n, m) 型, } LD^T = \mathbf{0} \text{ (m, n) 型} \quad \dots \dots \dots \quad (5.10)$$

$$CL^T = \mathbf{0} \quad (n, m) \text{ 型}, \quad LC^T = \mathbf{0} \quad (n, m) \text{ 型}$$

.....(5.11)

また、式 (5.7) と (5.1) から明らかに

$$DT^T = D_t T_t^T = -I \quad \dots \dots \dots \quad (5.12)$$

ここに, I は n 次の単位行列である。

式 (5.1), (5.3), (5.12) を式 (5.10), に用いると

式(5.3), (5.9)から

ここに, I は m 次単位行列である。最後に

$$BT^T = \mathbf{0} \text{ } (m, n) \text{ 型}, \quad TB^T = \mathbf{0} \text{ } (n, m) \text{ 型}$$

.....(5.15)

これらの性質を利用して、複雑なグラフを分割して、計算の簡単化をはかることが考えられる。すなわち、グラフをいくつかのトリーのみの Subgraph とコードのみの Subgraph に分割するのがその一つの方法である。

トポロジーの構造解析への適用については、下記文献を参考にされたい。

参 考 文 献

- 1) E.クライツィグ, 田島一郎・近藤次郎共訳 : 線形代数と応用解析, 技術者のための高等数学, 第2巻, 培風館.
 - 2) 島田静雄 : 土木応用数学, 大学講座土木工学1, 共立出版
 - 3) 佐竹一郎 : 行列と行列式, 数学選書1, 裳華房
 - 4) Faddeev, D.K., and V.M. Faddeeva : Computational Method of Linear Algebra, Freeman and Co., Publishers, 1963
 - 5) Bellman, Richard : Introduction to Matrix Analysis, McGraw-Hill, 1960
 - 6) McMinn, S.J. : Matrices for Structural Analysis, Spon, London, 1962
 - 7) Zurmühl, R. : Matrizen und ihre technischen Anwendungen, Springer, 1964
 - 8) Ralph, R. Mozingo : Matrix Distribution, Proc. ASCE Vol. 94, ST, April, 1968
 - 9) Huang, Chao : Uncoupling Method for Diagonal-Band-Matrix Equation, Proc. ASCE Vol. 93, EM, August, 1967
 - 10) Ting, T.C.T. : A Method of Solving a System of Linear Equations Whose Coefficients Form a Tri-Diagonal Matrix, Quart. of Applied Mathematics, Vol. 22, No. 2, July, 1964
 - 11) Kosko, E. : Matrix Inversion by Partitioning, The Aeronautical Quarterly, May, 1957
 - 12) Zurmühl, R. : Matrizenverfahren zur Behandlung von Biegungsschwingungen nach der Deformationsmethode, Ingenieur-Archiv, Bd 32, 1963
 - 13) Jennings, A., and Majid, K.I. : The Computer Analysis of Spaceframes Using Sparse Matrix Techniques, Proc. the International Conference on Space Structures, 1966
 - 14) Di Maggio, F.L. : Statical Indeterminacy and Stability of Structures, Proc. ASCE, Vol. 89, ST, 1963
 - 15) Spillers, W.R. : Applications of Topology in Structural Analysis, Proc. ASCE, Vol. 89, ST, 1963
 - 16) Fenves, S.J. : Structural Analysis by Networks, Proc. ASCE, Vol. 92, ST, 1966
 - 17) Koepsell, P.E. : Convergence of Matrix Carry-Over Procedure in Planar Structures Loaded Normal to the Plane, Ph. D. Thesis, Oklahoma State University, Stillwater, 1965
 - 18) Denke, P.H. : Matrix Structural Analysis, 2nd National Congress of Applied Mechanics, June, 1954
 - 19) Lange fors, B. : Algebraic Topology for Elastic Networks, SAAB TN 49, April, 1961
 - 20) Henderson, J.C. : Topological Aspects of Structural Linear Analysis, Aircraft Engineering Vol. 32, No. 37, May, 1960

「新数学講座・終」

改訂小委員會編 **海岸保全施設設計便覽** 改訂版

A 5 294 ページ・上製・図表、写真多数

定 價 2300 円 会員特価 2000 円 (税 100 円)

第1章 海岸における水理現象／第2章 海岸調査／第3章 設計法 に分け、全24節の大便覧。そのほか付表・索引・資料広告をおさむ。